

衝撃下のRC部材の性状に関する研究.

神戸大学工学部 正員 西村 昭
 " " " 藤井 学
 " " " 宮本文穂

1. 玄がき.

著者は先に道路橋鉄筋コンクリート床版(以下RC床版と略す)の破壊原因として、自動車輪荷重による衝撃に着目し、その第1段階として重錘の自然落下による衝撃荷重下でのRC部材の力学的性状について報告¹⁾した。今回、重錘の自然落下による衝撃と、実際走行車両による衝撃。対応すべきを行なうため、自動車(2種類)による走行試験を実施し、これに基づいて、実験室内で、緩衝材としてエムを用ひ、自動車荷重による衝撃波形を再現したRC曲げ部材の破壊実験を種々の要因を考慮して行なった結果を報告する。

2. 実験の概要.

実験は、自動車荷重、衝撃特性に関する実験(実験I)、自動車荷重、衝撃特性を再現する衝撃載荷法に関する実験(実験II)および自動車荷重による衝撃特性を考慮した衝撃下でのRC柱の破壊実験(実験III)に分けて行ない、これら表-1に示す要因を考慮した。表-1には、各実験で用いた供試体の寸法、測定項目、および重錘重量も併記である。なお、実験Iにおける自動車荷重による衝撃特性、定義において、衝撃波形の支配要因を、①: 静的荷重、移動によるもの、②: 輪荷重の時間的変動によるもの、の2つに分け、①については一例として走行速度100km/h、床版の影響幅50cmを対象とし、実際には、時速30km/h、これに対応するはり幅を5cmとした。また②については、路面に段差を設けることにより考慮した。図-1および2は実験Iおよび実験II、IIIで用いた実験装置の概略を示したものである。実験は同一条件で3回以上繰り返した。実験で用いたコンクリートは、設計基準強度 $f_{ck}=280$ kg/cm²、最大粗骨材寸法20mm、スランプ7~10cm、セメント量340 kg/m³の条件を満足する配合とした。なお、各供試体につき、同時に静的試験も実施し、衝撃試験と比較した。

3. 実験結果および考察.

図-3は、実験Iの結果、得られた各供試体の両支点ロードセルに生ずる衝撃波形の最大値に達するまでの時間(t_1)およびその継続時間(t_2)と、衝撃エネルギーの関係を示す。こより t_1 、 t_2 の値は、衝撃エネルギー、スパン、車種(2種類)に関係なく、ほぼ一定であることをみた。本実験では、 $t_1=1.74 \times 10^{-2}$ sec、 $t_2=3.93 \times 10^{-2}$ secである。

図-4は実験IIの結果から得られた、自動車の衝撃特性に対するゴム厚(22cm)を用いた場合の中央ロードセルおよび両支点ロードセルに生ずる t_1 、 t_2 の値を $H5$ ($L=120cm$ 、 $b=15cm$)供試体についてプロットしたものである。こより、 t_1 、 t_2 の値は衝撃

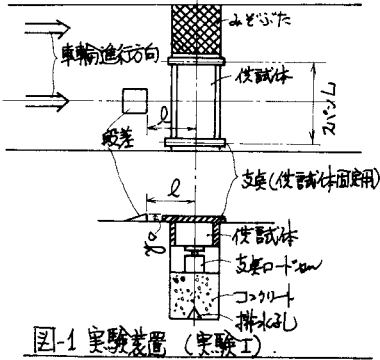


図-1 実験装置 (実験I).

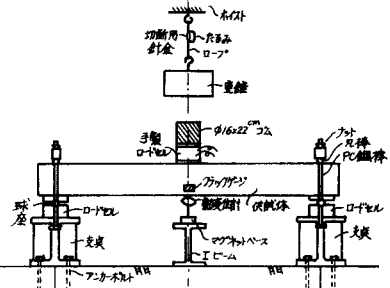


図-2. 衝撃試験装置 (実験II, III).

表-1 各実験の要因、測定項目、供試体寸法および重錘重量.

	要 因	測定項目	供 試 体 寸 法 (cm)	自 動 車 重 錘 量 (kg)
実験I	供試体スパン 段差の高さ 車種	両支点反力 スパン中央たわみ 鉄筋ひびき 鉄筋ひびき 車輪通過位置	スパンR=130cm スパン幅b=15cm スパンL=60, 120 200cm	フロートドーン (300) (270) コンクリート スパン (L) 200cm (140) (600) (550)
実験II	供試体スパン 重錘重量 ゴム厚	中央荷重 両支点反力 スパン中央たわみ 鉄筋ひびき	R=13, 16 b=15, 30 L=60, 120 200	100 50 30
実験III	破壊形式 断面形状 スパン 重錘重量	中央荷重 両支点反力 スパン中央たわみ コンクリート引張強度 コンクリート強度 鉄筋ひびき	R=13, 16 b=15, 30 L=60, 120 200	100 50 30

エネルギーに無関係に一定であるとしたならば、重鉛重量 100kg, $\phi 16 \times 22$ cm 円柱ゴムを緩衝材として用いることにより、ほぼ自動車衝撃波形を満足することができる。また、図-5は自動車荷重の衝撃に準拠したゴム厚(22cm)と用いた場合の重鉛重量の影響を調べるために、中央ロードレール指示値およびスパン中央部最大ひずみ値を H5 供試体についてプロットしたものである。以下に、衝撃荷重周期(T)と部材の1次振動周期(T₁)の比T/T₁が本実験の場合 8/10以上であると、ほぼ重鉛重量に無関係に一定となり、本実験結果が実際走行車両による衝撃効果を代表しているものと考えられ、T/T₁ > 1になると共振影響によりこれらの関係は多少変化するようである。理論的には RC ばかりの弾性体と仮定して曲げ剛性を考慮するにあたり衝撃荷重(P₀)と衝撃エネルギー(E₀)の関係は次式で表わされる。 $P_0 = 96 E_0^{1/2} L^{1/2}$ (1)

実験結果から得られた各ロードレール指示値と衝撃エネルギーの関係と H5 は試体 H3 と H4 のようならず。この理由としては、実験車は月日平行となるあたり減率(η)を導入することにより可能である。図-7 は減率(η)と H₁(L=60, b=15, f=10cm)供試体を基準とした場合の各供試体のひずみ幅は高減率の関係を示すものである。以下減率に最も顕著な影響を及ぼすのは高減率であり、実際道路構造RC梁橋において過度のスレーベル化が自動車の荷物エネルギーの瞬間的吸収減少となり衝撃の面から危険にならざらう。図-8 は一例としてスパン=20cm 供試体についていためよりひずみ幅と静的衝撃荷重との関係を示すもので、衝撃下では荷物の効果、慣性効果、振動等の影響により見掛け上スパンが短くなっていると考えられる。これは I.O. Oladejo も指摘している。また静的衝撃荷重下での波形形状の基礎的差異は以前述べたが、本実験において H₁, H₂ 供試体 (L=120, f=16, b=15, d=10cm) の場合、曲げ剛性の発現が最終的な衝撃は斜めひずみであるためか、衝撃下では曲げ破壊であった。この結果は青柳らの結果と逆であり、青柳の場合は $f=20.5$ 、本実験の場合は $f=18.10$ 、 L/f との関係も含めて今後研究が必要である。

4. あとまき、部材の衝撃荷重の実用上の弹性限界には先述述べた衝撃荷重の定量的測定は困難である。今後、この問題を克服するための静的試験を Elastic-Dynamic Theory を適用して理論的に実験的に求め衝撃荷重の限界をさしきたい。参考文献。1) 雙流管 RC ばかりの衝撃荷重の測定とその特性。

年次概要。

2) I.O. Oladejo:

"Dynamic Loading of Rectangular Beam," Mag. of Civil Eng.

1962. 3) 青柳、衝撃荷重と RC 梁

の基礎的研究とその応用。

XIX. MB381

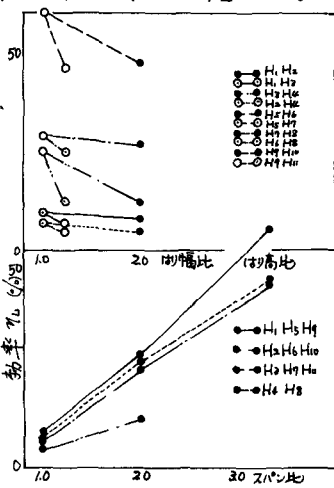


図-7 減率(η)と T/T₁ の関係

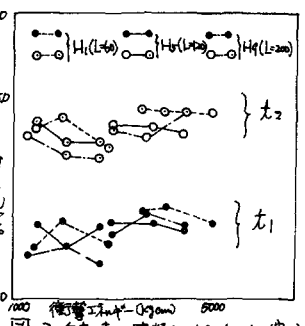


図-5 重鉛重量と各ロードレール指示値および最大ひずみ

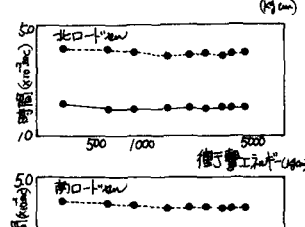
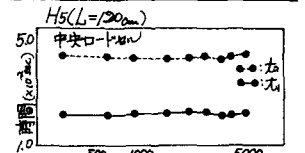


図-4 衝撃エネルギーと各ロードレール指示値

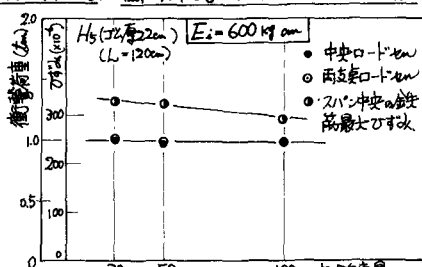


図-5 重鉛重量と各ロードレール指示値および最大ひずみ

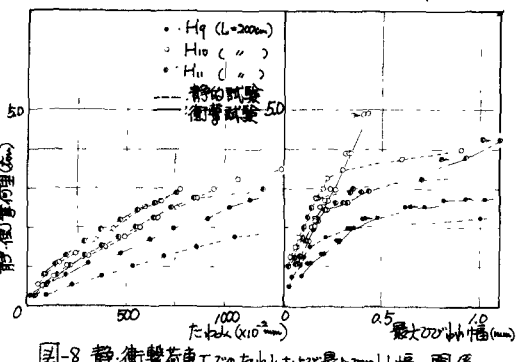


図-8 静的衝撃荷重下でのたわみおよび最大ひずみの関係

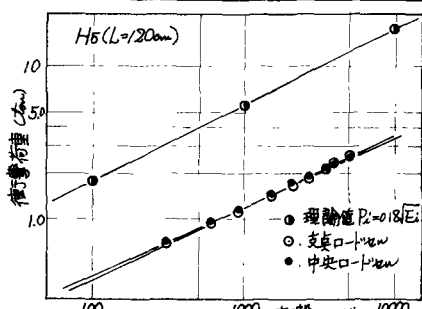


図-6 衝撃荷重と衝撃エネルギーの関係